

(©) 1994 г.

ЭЛЕКТРИЧЕСКИЕ СВОЙСТВА ТВЕРДЫХ РАСТВОРОВ GaAlSb И GaAlSbAs

Т.И. Воронина, Б.Е. Джуртанов, Т.С. Лагунова, Ю.П. Яковлев

Физико-технический институт им. А.Ф. Иоффе Российской академии наук,
194021, Санкт-Петербург, Россия

(Получена 29 апреля 1994 г. Принята к печати 10 мая 1994 г.)

Исследованы электрические свойства эпитаксиальных пленок твердых растворов $\text{Ga}_{0.9}\text{Al}_{0.1}\text{Sb}$ и $\text{Ga}_{0.66}\text{Al}_{0.34}\text{SbAs}$, выращенных на подложках $n\text{-GaSb}$. Показано, что как тройные, так и четверные твердые растворы имеют p -тип проводимости ($p \simeq 10^{16} \text{ см}^{-3}$ при $T = 77 \text{ K}$). При легировании твердых растворов германием можно получить материал с концентрацией $p \simeq 10^{19} \text{ см}^{-3}$, несмотря на аморфные свойства германия. Определен коэффициент сегрегации германия, который составляет $\simeq 0.2$.

Интерес к исследованию изопериодных твердых растворов GaAlSb и GaAlSbAs обусловлен тем, что эти материалы широко используются при создании оптоэлектронных приборов в инфракрасной области спектра (1.3–2.5 мкм), в том числе лазеров [1], светодиодов [2], быстродействующих фотодиодов [3], лавинных фотодиодов [4] и др. Для разработки таких приборов необходимо знание оптических и электрических свойств данных твердых растворов и их зависимость от состава. Оптические свойства GaAlSbAs детально изучались, например, в [5]. Однако сообщения об исследовании электрических свойств многокомпонентных твердых растворов GaAlSb и GaAlSbAs в литературе практически отсутствуют.

В данной работе исследуются электрические свойства эпитаксиальных пленок твердых растворов состава $\text{Ga}_{0.9}\text{Al}_{0.1}\text{Sb}$ и $\text{Ga}_{0.66}\text{Al}_{0.34}\text{SbAs}$ выращенных на подложках $n\text{-GaSb}$. Толщина пленок GaAlSbAs составляла 7–10 мкм, а GaAlSb — до 100 мкм. Пленка от подложки была изолирована потенциальным барьером или подложка удалялась. Измерялись коэффициент Холла R , электропроводность σ , подвижность $u = R\sigma$ в интервале температур 77–300 К как в чистых нелегированных образцах, так и в образцах, легированных германием. Параметры образцов приведены в таблице.

Нелегированные как тройные, так и четверные твердые растворы имели p -тип проводимости. При $T = 77 \text{ K}$ концентрация дырок в GaAlSb составляла $p = 8.2 \cdot 10^{15} \text{ см}^{-3}$, подвижность $u = 2600 \text{ см}^2/\text{В}\cdot\text{с}$;

Основные параметры исследованных образцов

№ об- разца	Ge мол %	T = 300 K		T = 77 K		$N_J,$ cm^{-3}	$N_{A1},$ cm^{-3}	$N_D,$ cm^{-3}	$K = N_D/N_A$
		$p,$ cm^{-3}	$u,$ $\text{cm}^2/\text{B}\cdot\text{с}$	$p,$ cm^{-3}	$u,$ $\text{cm}^2/\text{B}\cdot\text{с}$				
GaAlSb									
1	—	$5.6 \cdot 10^{16}$	670	$8.2 \cdot 10^{15}$	2600	$2.7 \cdot 10^{16}$	$1.7 \cdot 10^{16}$	$1 \cdot 10^{16}$	0.58
2	$1.5 \cdot 10^{-3}$	$1.3 \cdot 10^{17}$	575	$6.9 \cdot 10^{16}$	1090	$1.5 \cdot 10^{17}$	$1.1 \cdot 10^{17}$	$4 \cdot 10^{16}$	0.36
3	$2.9 \cdot 10^{-2}$	$2.5 \cdot 10^{18}$	314	$2.6 \cdot 10^{18}$	340	$2.8 \cdot 10^{18}$	$2.7 \cdot 10^{18}$	$1 \cdot 10^{17}$	0.04
4	$3.1 \cdot 10^{-2}$	$2.8 \cdot 10^{18}$	240	$3.6 \cdot 10^{18}$	208	$4.4 \cdot 10^{18}$	$4 \cdot 10^{18}$	$4 \cdot 10^{17}$	0.1
5	$1.1 \cdot 10^{-1}$	$1.3 \cdot 10^{19}$	180	$1.3 \cdot 10^{19}$	214	$1.36 \cdot 10^{19}$	$1.3 \cdot 10^{19}$	$6 \cdot 10^{17}$	0.05
6	$1.1 \cdot 10^{-1}$	$1.3 \cdot 10^{19}$	145	$1 \cdot 10^{19}$	240	$1 \cdot 10^{19}$	$9 \cdot 10^{18}$	$5 \cdot 10^{17}$	0.06
7	$1.4 \cdot 10^{-1}$	$9 \cdot 10^{18}$	195	$9 \cdot 10^{18}$	244	$9 \cdot 10^{18}$	$8.4 \cdot 10^{18}$	$6 \cdot 10^{17}$	0.05
8	$2.2 \cdot 10^{-1}$	$1.3 \cdot 10^{19}$	210	$1.3 \cdot 10^{19}$	233	$1.3 \cdot 10^{19}$	$1.3 \cdot 10^{19}$	$6 \cdot 10^{17}$	0.05
GaAlSbAs									
9	—	$6 \cdot 10^{16}$	300	$1.5 \cdot 10^{16}$	1130	$1 \cdot 10^{17}$	$5.7 \cdot 10^{16}$	$1.3 \cdot 10^{16}$	0.75
10	$2.2 \cdot 10^{-3}$	$9.3 \cdot 10^{16}$	290	$1.6 \cdot 10^{16}$	1090	$1.1 \cdot 10^{17}$	$4.6 \cdot 10^{16}$	$6.4 \cdot 10^{16}$	0.72
11	$4.4 \cdot 10^{-3}$	$3.4 \cdot 10^{17}$	220	$6.9 \cdot 10^{16}$	670	$2.1 \cdot 10^{17}$	$1.4 \cdot 10^{17}$	$7 \cdot 10^{16}$	0.5
12	$3 \cdot 10^{-2}$	$1.8 \cdot 10^{18}$	178	$1.8 \cdot 10^{18}$	190	$4.6 \cdot 10^{18}$	$3.2 \cdot 10^{18}$	$1.4 \cdot 10^{18}$	0.3
13	$7 \cdot 10^{-2}$	$3.7 \cdot 10^{18}$	160	$3.7 \cdot 10^{18}$	196	$7.3 \cdot 10^{18}$	$5.5 \cdot 10^{18}$	$1.8 \cdot 10^{18}$	0.32
14	$1.4 \cdot 10^{-1}$	$6.7 \cdot 10^{18}$	134	$6.7 \cdot 10^{18}$	163	$1.2 \cdot 10^{19}$	$9.5 \cdot 10^{18}$	$2.5 \cdot 10^{18}$	0.26

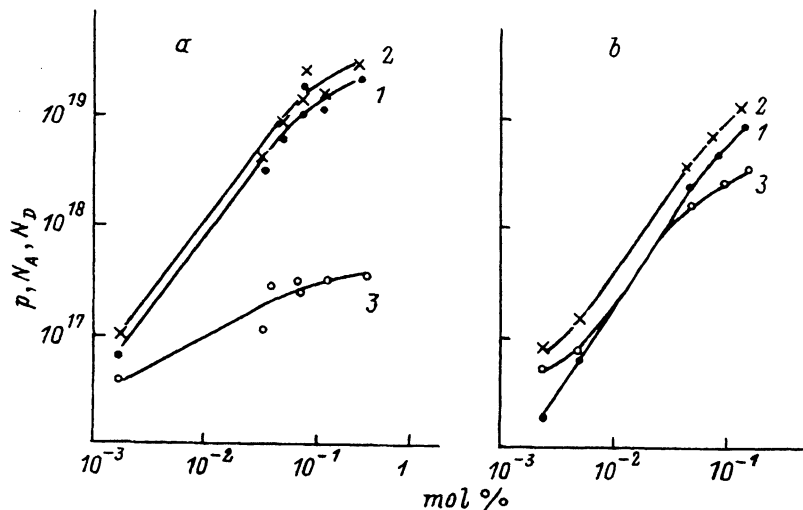


Рис. 1. Зависимость концентрации дырок p при $T = 77$ К (1) акцепторов N_A (2) и доноров N_D (3) от степени легирования германием; a — GaAlSb, b — GaAlSbAs.

в GaAlSbAs $p = 1.5 \cdot 10^{16} \text{ см}^{-3}$, $u = 1100 \text{ см}^2/\text{В}\cdot\text{с}$. При легировании германием тип проводимости сохранялся, а с ростом уровня легирования концентрация дырок непрерывно увеличивалась и могла достигать значений $p \approx 10^{19} \text{ см}^{-3}$ (рис. 1).

На рис. 2 представлена температурная зависимость коэффициента Холла. В исходных нелегированных образцах 1 и 9 четко видны два экспоненциальных наклона, соответствующих энергиям активации: при низких температурах в диапазоне $T = (77-180)$ К $E_{A1} = 0.009-0.01$ эВ, при $T > 180$ К $E_{A2} \approx 0.03$ эВ. Точно такие же наклоны в температурной зависимости R наблюдались также для p -GaSb [6] и связывались с мелкими водородоподобными уровнями неконкурируемых примесей с энергией активации E_{A1} , а уровни с энергией E_{A2} — со структурными дефектами типа «вакансия галлия и галлий на месте сурьмы» [$V_{\text{Ga}}\text{GaSb}$]. Можно предполагать, что природа наблюдаемых энергетических уровней в GaAlSb и GaAlSbAs одинаковая, так как в основе состава твердого раствора преобладают компоненты Ga и Sb.

При легировании германием наклоны в низкотемпературной области уменьшаются и при $p \approx 10^{18} \text{ см}^{-3}$ вообще исчезает зависимость R от T . Уменьшение E_{A1} с ростом концентрации акцепторов N_A , согласно водородоподобной модели, связано с перекрытием волновых функций примесных атомов и подчиняется закону: $E_{A1} = E_0(1 - \alpha N_A^{1/3})$, где энергия активации $E_0 = 13.5m_p^*/\kappa^2 m_0$ (эВ); m_p^* — эффективная масса дырок, κ — диэлектрическая постоянная. В p -GaAlSb и GaAlSbAs величина E_0 , определенная из зависимости E_{A1} от концентрации акцепторов, так же как в p -GaSb [6], оказалась близкой к 0.02 эВ. Полагая, что $\kappa = 15.7$ (аналогично GaSb), по значениям E_0 можно оценить величину эффективной массы дырок $m_p^* = 0.4m_0$ в p -GaAlSb и в p -GaAlSbAs. Эти значения эффективной массы были использованы при анализе подвижности носителей тока.

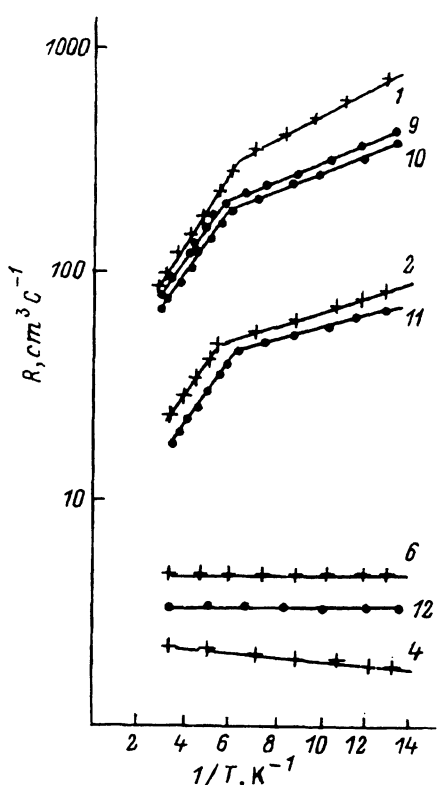


Рис. 2. Зависимость коэффициента Холла от температуры в твердых растворах GaAlSb и GaAlSbAs. Номера кривых соответствуют номерам образцов в таблице.

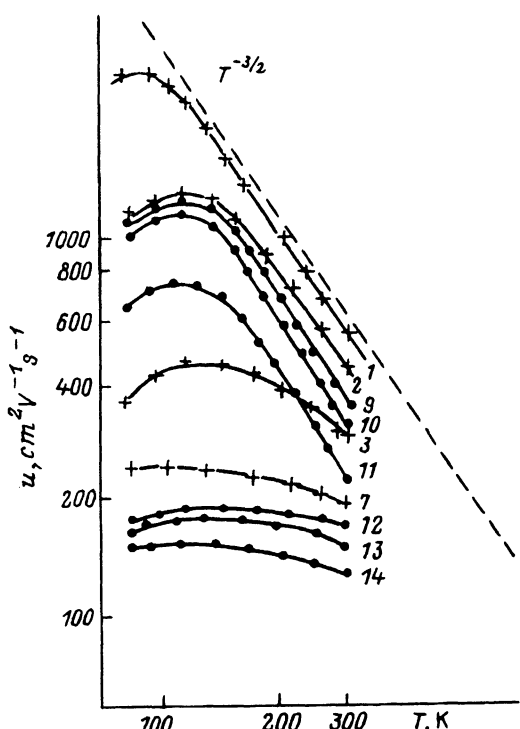


Рис. 3. Зависимость подвижности от температуры в твердых растворах GaAlSb и GaAlSbAs. Номера кривых соответствуют номерам образцов в таблице.

Подвижность носителей тока в зависимости от температуры представлена на рис. 3. В исходных нелегированных образцах 1 и 9 при $T > 150$ К подвижность падает с ростом температуры $\sim T^{-3/2}$, что может быть связано с рассеянием носителей тока на колебаниях решетки. Если считать, что полная экспериментальная подвижность u_{exp} при более низких температурах определяется только рассеянием на ионах примеси и решетке $1/u_{\text{exp}} = 1/u_I^{\text{exp}} + 1/u_L$, то можно выделить ионную составляющую подвижности u_I^{exp} при $T = 77$ К.

Сопоставляя ее с теоретической подвижностью Брукса–Херринга [7]

$$u_I = 3.2 \cdot 10^{15} (m_0/m_p^*)^{1/2} \kappa^2 T^{3/2} / N_I [\ln(1+b) - b/(b+1)];$$

$$b = 1.3 \cdot 10^{14} \kappa m_p^* T^2 / m_0 p, \quad (1)$$

можно определить полную концентрацию ионов примесей $N_I = u_I p_{77} / u_I^{\text{exp}}$, где p_{77} — концентрация дырок при $T = 77$ К, а из уравнений $N_I = N_A + N_D$ и $p_{77} = N_A - N_D$ найти раздельно концентрацию акцепторов N_A , доноров N_D и степень их компенсации $K = N_D/N_A$ (см. таблицу).

При слабом легировании германием характер зависимости $u(T)$ сохраняется (образцы 2, 3, 10, 11), однако значения подвижности занижены во всем интервале температур, что может быть связано со скоплениями примесей и дефектов [8]. Полагая, что при $T = 300$ К вклад ионной составляющей в подвижность, согласно формуле (1), незначителен, и сопоставлял экспериментальную подвижность с подвижностью для рассеяния на колебаниях решетки, можно выделить влияние на подвижность этих скоплений и учесть их при определении ионной составляющей подвижности при $T = 77$ К. Так же, как в нелегированных образцах, можно определить N_I , N_A , N_D и К (см. таблицу).

При высоком уровне легирования, когда концентрация дырок $p > 10^{18}$ см⁻³, подвижность слабо зависит от температуры (образцы 3–7 и 12–14), что связано с вырождением электронно-дырочного газа. В этих образцах была использована формула Брукса–Херринга для вырожденного электронно-дырочного газа:

$$u_I = 0.2\kappa^2(m_0/m_p^*)^2 p/N_I[\ln(1+b) - b/(b+1)],$$

$$b = 5.1 \cdot 10^{-8} \kappa m_0/m_p^* p^{1/3}. \quad (2)$$

Аналогично были определены значения N_I , N_A , N_D и К (см. таблицу).

В таблице и на рис. 1 видно, что германий в твердых растворах GaAlSb и GaAlSbAs проявляет амфотерные свойства: одновременно с преобладающим ростом концентрации акцепторов растет и концентрация доноров, причем только при сильном уровне легирования ($p > 10^{18}$ см⁻³) начинается замедление роста концентрации доноров. Такое же поведение германия наблюдалось в четверном твердом растворе p -GaInSbAs, выращенном на подложках n -GaSb [9].

Полученные данные позволяют определить коэффициент сегрегации $C = C_{\text{sol}}/C_{\text{liq}}$ германия в твердых растворах GaAlSb и GaAlSbAs. Концентрация атомов в твердой фазе $C_{\text{sol}} = (N_A - N_A^0) + (N_D - N_D^0)$ (N_A^0 и N_D^0 — концентрации акцепторов и доноров в исходном материале), в жидкой фазе — $C_{\text{liq}} = N/V$ (N — концентрация атомов примеси V — объем). Коэффициент сегрегации оказался равным $C = 0.15$ – 0.2 для GaAlSb и GaAlSbAs и приблизительно такой же, как и в твердом растворе GaInSbAs [9].

Таким образом, полученные результаты указывают на общность электрических свойств тройных и четверных твердых растворов, близких по составу к GaSb:

- 1) все они имеют, как и бинарный GaSb, p -тип проводимости;
- 2) концентрация дырок уменьшается при включении в систему Al или In;
- 3) во всех соединениях сохраняется структурный дефект $[V_{\text{Ga}}\text{Gasb}]$;
- 4) германий хорошо растворяется в твердых растворах и позволяет получать материалы с высокой концентрацией дырок ($p \approx 10^{19}$ см⁻³).

Список литературы

- [1] А.Н. Баранов, Б.Е. Джуртанов, А.Н. Именков, Ю.М. Шерняков, Ю.П. Яковлев. Письма в ЖТФ, **12**, 557 (1986).
- [2] А.А. Андаспаева, А.Н. Баранов, А.А. Гусейнов, А.Н. Именков, Н.М. Колчанова, Е.А. Сидоренкова, Ю.П. Яковлев. Письма в ЖТФ, **15**, 71 (1989).
- [3] И.А. Андреев, А.Н. Баранов, М.З. Шингарев, В.И. Корольков, М.П. Михайлова, Ю.П. Яковлев. ФТП, **19**, 1605 (1985).
- [4] И.А. Андреев, М.А. Афраилов, А.Н. Баранов, С.Г. Конников, М.А. Мирсагатов, М.П. Михайлова, О.В. Салата, В.Е. Уманский, Г.М. Филаретова, Ю.П. Яковлев. Письма в ЖТФ, **15**, 15 (1989).
- [5] S. Adachi. J. Appl. Phys., **61**, 4869 (1987).
- [6] А.Н. Баранов, Т.И. Воронина, Т.С. Лагунова, И.Н. Тимченко, З.И. Чугуева, В.В. Шерстнев, Ю.П. Яковлев. ФТП, **23**, 780 (1989).
- [7] Ф. Блатт. Теория подвижности электронов в твердых телах (М., Физматгиз, 1963).
- [8] А.Н. Дахно, О.В. Емельяненко, Т.С. Лагунова, С.П. Старосельцева. ФТП, **13**, 1788 (1979).
- [9] Т.И. Воронина, Б.Е. Джуртанов, Т.С. Лагунова, Ю.П. Яковлев. ФТП, **25**, 283 (1991).

Редактор Т.А. Полянская
